

شبیه سازی مونت کارلو چگالی سنجی استخوان

## بررسی تکنیک چگالی سنجی استخوان به روش دو فوتونی و سه فوتونی با استفاده از شبیه سازی مونت کارلو

علیرضا کمالی اصل<sup>\*</sup>، آرش درفشه<sup>۱</sup>، سید محمود رضا آقامیری<sup>۲</sup>

۱- استادیار گروه مهندسی پرتوپزشکی، دانشکده مهندسی هسته ای، دانشگاه شهید بهشتی تهران

۲- دانشجوی دکترا پرتوپزشکی، دانشکده مهندسی هسته ای، دانشگاه شهید بهشتی، تهران

۳- دانشیار گروه مهندسی پرتوپزشکی، دانشکده مهندسی هسته ای، دانشگاه شهید بهشتی تهران

تاریخ دریافت نسخه اصلاح شده: ۸۷/۱۰/۲۴ تاریخ پذیرش مقاله: ۸۷/۳/۱۱

### چکیده

مقدمه: هنگام استفاده از سیستمهای سنج استخوان به روش جذب دوفوتونی، توزیع ناهمگون بافت چربی در بیماران سبب ایجاد خطا در صحت نتایج آن می شود چرا که در این سیستمهای بدن انسان به صورت دو مؤلفه بافت نرم و مواد معدنی استخوان مدل می شود. برای اینکه برآورد صحیح تری داشته باشیم بایستی از مدلی استفاده کنیم که در آن اثر چربی در نظر گرفته شود. در این نوشتار با شبیه سازی مونت کارلو با استفاده از کد MCNP، ابتدا به بررسی روش های موجود می پردازیم و سپس به بررسی روش های پیشنهادی و همچنین به بررسی اثر الگوی هندسی و شکل خورده های استخوان بر نتایج اندازه گیری می پردازیم.

مواد و روش ها: برای شبیه سازی روش های چگالی سنجی از کد MCNP استفاده شده است. شبیه سازی مونت کارلو یک روش آماری بر پایه اعداد تصادفی و احتمال آماری می باشد. این نوع شبیه سازی یکی از مهمترین ابزارها برای مطالعه و بررسی انتقال ذرات و برهمنکش های آنها با مواد و همچنین حفاظت در برابر تابش و دز سنجی می باشد. کد MCNP یک کد چند منظوره مونت کارلو است که می توان آن را برای بررسی مسائل ترانسپورت نوترون، فوتون و الکترون به کار برد.

نتایج: صحت اندازه گیری در مواجهه با توزیع ناهمگون بافت چرب با استفاده از روش دومولفه ای رایج کاهش می یابد. با استفاده از روش سه مولفه ای - دو انرژی صحت نتایج بهتر می شود در حالی که روش سه انرژی نتایج قابل قبولی ندارد.

بحث: علت بهبود صحت نتایج روش سه مولفه ای در نظر گرفتن مولفه بافت چربی به تنها یی می باشد. و دلیل ناکارامد بودن روش سه انرژی به نوعی ناشی از واپسیه بودن ضرایب تضعیف در سه انرژی مختلف می باشد.

نتیجه گیری: استفاده از روش جذب سه فوتونی نمی تواند راه حل کارآمدی برای فائق آمدن به مشکل عدم توزیع هماهنگ بافت چربی باشد. (مجله فیزیک پزشکی ایران، دوره ۴، شماره ۱۶ و ۱۷، پاییز و زمستان ۸۵-۸۶: ۶۵-۷۳)

واژگان کلیدی: روش جذب دو فوتونی، روش جذب سه فوتونی، صحت، چگالی سنجی استخوان، شبیه سازی مونت کارلو، کد MCNP

\* نویسنده مسؤول: علیرضا کمالی اصل

آدرس: گروه مهندسی پرتوپزشکی، دانشگاه شهید بهشتی تهران

a\_r\_kamali@yahoo.com

تلفن: +۹۸ (۰) ۲۱- ۶۶۴۰۰۲۱

و دقت بیانگر این است که با تکرار اندازه گیری در شرایط ثابت، اعداد به دست آمده تا چه اندازه به هم نزدیک هستند. در بررسی هایی که به منظور تعیین آستانه شکستگی استخوان در افراد مبتلا به پوکی استخوان و شروع درمان های لازم صورت می گیرد، صحت اندازه گیری بر دقت آن ارجحیت دارد. اما چنانچه بررسی بر روی شخص به منظور بررسی اثرات درمان و یا تغییرات محتويات استخوان در طی دوره ای مشخص صورت می گیرد، دقت اندازه گیری مهم تر از صحت آن است.

دقت بدست آمده در اندازه گیری محتويات معدنی استخوان به روش جذب دو فوتونی معمولاً بهتر از ۰.۲٪ است؛ اما برای صحت آن، خطاهای ناشی از عدم یکنواختی توزیع چربی تا بیش از ۱۰٪ گزارش داده شده است [۲]. این خطاهای از آنجا ناشی می شود که روش مرسوم جذب دوفوتونی مدلی دو مؤلفه ای برای بدن انسان در نظر می گیرد که شامل مواد معدنی استخوان و بافت نرم می باشد؛ لذا توزیع ناهمگون چربی سبب ایجاد خطا در صحت اندازه گیری می شود.

در این نوشتار اثر افزایش بافت چربی بر صحت اندازه گیری چگالی استخوان به روش جذب دو فوتونی بررسی می شود و سپس به بررسی چند روش برای بهبود صحت اندازه گیری به روش جذب دوفوتونی می پردازیم و آنها را به روش مونت کارلو و با استفاده از کد MCNP-4C شبیه سازی و ارزیابی می کنیم. همچنین اثر الگوی هندسی خوردگی های استخوان بر صحت اندازه گیری چگالی استخوان به روش جذب دو فوتونی نیز بررسی می شود.

## ۲- مواد و روشها

یکی از روش های به کار گرفته شده جهت ارزیابی چگالی استخوان روش جذب دوفوتونی است. در این روش فوتون هایی با دو انرژی متمایز از بافت عبور می کنند و دو

### ۱- مقدمه

پوکی استخوان نوعی بیماری استخوانی است که در آن میزان مواد معدنی استخوان کاهش و در نتیجه خطر شکستگی استخوان افزایش می یابد. علاوه بر درد و رنج ناشی از آن در بیماران مبتلا، که بیشتر بانوان سالخورده می باشند، این بیماری هزینه های سنگینی به جامعه تحمیل می کند چرا که اکثر شکستگی ها ناشی از این بیماری می باشند. با تشخیص صحیح و به موقع این بیماری می توان تا حدودی به درمان آن پرداخت و سبب پیشگیری از شکستگی های استخوان در بیماران شد. تحلیل محتويات بافت استخوان به طور زنده ابزار مهمی در تشخیص بیماری های استخوانی می باشد. روش های فیزیکی گوناگونی برای تخمین محتويات بافت های بدن وجود دارد؛ روش های مبتنی بر رادیوگرافی به سبب خواص جذبی بالای اشعه ایکس در استخوان نسبت به سایر بافت ها، امکان تعیین چگالی مواد معدنی استخوان را به طور تحلیلی در بافت زنده فراهم می آورند. روش های رادیوگرافی نوین برای اندازه گیری محتويات معدنی بافت استخوان عبارتند از: توموگرافی کامپیوتری کمی تک انرژی و دو انرژی، جذب دو فوتونی و جذب دو انرژی پرتوی ایکس.

اندازه گیری چگالی مواد معدنی استخوان بیشتر به منظور تشخیص پوکی استخوان بکار می رود. سایر کاربردهای این نوع اندازه گیری عبارتند از بررسی شکل گیری شکستگی استخوان، خلال رشد طولی، اندازه گیری بهبود شکستگی استخوان، بررسی تغییرات آن در اطراف ایمپلنت های ارتوبدی [۱]. دقت و صحت عباراتی هستند که در حوزه بررسی کمی مقادیر علمی بکار می روند و به ترتیب قابلیت تکرار پذیری اندازه گیری و میزان توانایی سیستم در اندازه گیری مقدار واقعی آن کمیت را نشان می دهند. در چگالی سنجه استخوان، صحت بیانگر این است که تا چه اندازه مقدار به دست آمده منعکس کننده مقدار واقعی چگالی استخوان است

شبیه سازی مونت کارلو چگالی سنجی استخوان

مرجع [۲] توصیه شده است روش تعییم یافته یا سه مؤلفه‌ای جذب دوفوتونی می‌باشد. اساس این روش همانند روش عادی دوفوتونی می‌باشد اما از آنجا که مؤلفه چربی را در نظر گرفته ایم بایستی یک معادله دیگر به دو معادله قبلی اضافه شود. در این روش سه مؤلفه درنظر گرفته شده عبارتند از بافت نرم خالص (بدون چربی)، بافت چرب، و مواد معدنی استخوان. در این روش کل ضخامت طی شده توسط فوتون‌ها در بافت را به عنوان معادله سوم در نظر می‌گیرند. به این ترتیب معادلات به صورت زیر در می‌آیند:

$$I_h = I_{0h} \exp[-(\mu_{lsh} t_s + \mu_{lbh} t_b + \mu_{lfh} t_f)] \quad (3)$$

$$I_l = I_{0l} \exp[-(\mu_{lsl} t_s + \mu_{lbl} t_b + \mu_{lfl} t_f)]$$

$$T = t_s + t_b + t_f$$

پارامترهای بکار رفته در روابط (۳) مشابه روش دوم مؤلفه‌ای می‌باشد با این تفاوت که ضرایب تضعیف و ضخامت‌ها، خطی می‌باشند و رابطه  $t_i \rho_i = x_i$  بین ضخامت طولی و ضخامت جرمی برقرار است. ضمناً پانویس‌های  $f$  مربوط به چربی می‌باشند مثلاً  $t_f$  بیانگر ضخامت چربی می‌باشد. با حل دستگاه فوق، ضخامت بصورت زیر در می‌آید.

$$t_b = \frac{\begin{vmatrix} \mu_{lsh} & -\ln(I_h/I_{0h}) & \mu_{lfh} \\ \mu_{lsl} & -\ln(I_l/I_{0l}) & \mu_{lfl} \\ 1 & 1 & 1 \end{vmatrix}}{\begin{vmatrix} \mu_{lsh} & \mu_{lbh} & \mu_{lfh} \\ \mu_{lsl} & \mu_{lbl} & \mu_{lfl} \\ 1 & 1 & 1 \end{vmatrix}} \quad (4)$$

یک روش دیگر برای در نظر گرفتن اثر چربی که کمتر مورد توجه قرار گرفته است استفاده از فوتون‌ها با سه انرژی متفاوت می‌باشد؛ در اینصورت معادلات عبور پرتوها بصورت زیر در می‌آید.

$$I_1 = I_{01} \exp[-(\mu_{ls1} t_s + \mu_{lb1} t_b + \mu_{lf1} t_f)]$$

$$I_2 = I_{02} \exp[-(\mu_{ls2} t_s + \mu_{lb2} t_b + \mu_{lf2} t_f)] \quad (5)$$

$$I_3 = I_{03} \exp[-(\mu_{ls3} t_s + \mu_{lb3} t_b + \mu_{lf3} t_f)]$$

فرض اساسی صورت می‌گیرد. اولاً ناحیه تحت بررسی از دو مؤلفه بافت نرم و مواد معدنی استخوان تشکیل شده و ثانیاً فرایند عبور فوتون از بدن به خوبی از روابط نمایی مبتنی بر ضرایب تضعیف پیروی می‌کند معادلات عبور پرتو با این دو فرض اخیر به صورت زیر به دست می‌آید:

$$I_h = I_{0h} \exp[-(\mu_{msh} x_s + \mu_{mbh} x_b)] \quad (1)$$

$$I_l = I_{0l} \exp[-(\mu_{msl} x_s + \mu_{mbl} x_b)]$$

پارامترهای  $I_{0h}$ ,  $I_{0l}$ ,  $I_h$ ,  $I_l$ ,  $\mu_{msh}$ ,  $\mu_{msl}$ ,  $\mu_{mbh}$ ,  $\mu_{mbl}$ ,  $x_s$ ,  $x_b$  که در روابط (۱) به کار رفته‌اند به ترتیب عبارتند از: شدت فوتون‌های کم انرژی عبور کرده، شدت فوتون‌های پرانرژی عبور کرده، شدت اولیه فوتون‌های کم انرژی، شدت اولیه فوتون‌های پرانرژی، ضریب تضعیف جرمی بافت نرم در محدوده انرژی فوتون‌های کم انرژی، ضریب تضعیف جرمی بافت نرم در محدوده انرژی فوتون‌های پرانرژی، ضریب تضعیف جرمی مواد معدنی استخوان در محدوده انرژی فوتون‌های کم انرژی، ضریب تضعیف جرمی مواد معدنی استخوان در محدوده فوتون‌های پر انرژی، ضخامت جرمی (بر حسب  $gcm^{-2}$ ) که توسط فوتون‌ها در بافت نرم پیموده می‌شود، و ضخامت جرمی که توسط فوتون‌ها در استخوان پیموده می‌شود.

با حل این دستگاه دو معادله-دو مجهولی،  $x_b$  بدست می‌آید:

$$x_b = \frac{R_s \ln(\frac{I_{0h}}{I_h}) - \ln(\frac{I_{0l}}{I_l})}{R_s \mu_{mbh} - \mu_{mbl}} \quad (2)$$

$$\text{که } [1] R_s = \frac{\mu_{msl}}{\mu_{msh}}$$

از آنجا که روش دوفوتونی بدن را بصورت دو مؤلفه بافت نرم و مواد معدنی استخوان فرض می‌کند، توزیع ناهماهنگ چربی در بافت نرم سبب ایجاد خطأ در صحبت اندازه گیری می‌شود. از اینروست که استفاده از روش‌هایی که مؤلفه مربوط به چربی را در نظر می‌گیرند توصیه می‌شود. یکی از این روش‌ها که در

در برگیرنده اطلاعاتی از قبیل مشخصات هندسه، توصیف مواد و نحوه انتخاب سطح مقاطع آنها، مکان و مشخصات چشمی ذرات که می‌تواند نوترون، فوتون یا الکترون باشند، و نوع خروجی‌ها و هر نوع روش کاهش واریانس که برای بهبود بازدهی صورت می‌گیرد، می‌باشد. غالباً از سطح مقطع نقطه‌ای استفاده می‌شود اگرچه اطلاعات سطح مقطع‌های گروهی نیز قابل دسترس می‌باشند. برای فوتونها در این کد، پراکنده‌گی همدوس و غیره‌مدوس، احتمال تابش فلوئورستی بعد از جذب فوتوالکتریک، تولید زوج همراه با تابش نابودی محلی و همچنین تابش ترمیزی به حساب می‌آیند [۳].

## ۲-۲- بدست آوردن ضرایب تضعیف

از آنجا که روش‌های نامبرده شده در بخش قبلی همگی مبتنی بر تضعیف پرتو می‌باشد، بایستی از ضرایب تضعیف موادی که پرتو از آن‌ها می‌گذرد اطلاع داشته باشیم. برای نیل به این مقصود با استفاده از شبیه سازی مونت کارلو این مقادیر را بدست می‌آوریم.

هنگامی که یک باریکه پرتو با شدت  $I_0$  از ماده ای به ضخامت  $t$  گذر کند، رابطه  $I = I_0 \exp(-\mu t)$  بین شدت پرتو اولیه و پرتوی گذر کرده از ماده برقرار است.  $\mu$  ضریب تضعیف خطی نامیده می‌شود و به جنس ماده و انرژی پرتو بستگی دارد. یک راه عملی برای بدست آوردن مقدار  $\mu$  این است که آزمایشی ترتیب دهیم که در آن از یک چشمی تک انرژی با انرژی مورد نظر استفاده کنیم تا علاوه بر ارزیابی سیستم با تغییر ضخامت ماده مورد بحث، شدت فوتون‌های گذر کرده از ماده،  $I$ ، را بدست آوریم. با برآش یک منحنی نمایی از منحنی  $I$  بر حسب  $t$ ، مقدار  $\mu$  بدست می‌آید. برای پرهیز از دخالت پرتوهای پراکنده‌گی بر مقدار  $I$  لازم است که علاوه بر قرار دادن کولیماتور آشکارساز- فقط پرتوهایی را که دارای همان انرژی پرتوی اولیه هستند در تعداد  $I$  ثبت کنیم.

پانویس‌های ۱، ۲ و ۳ نشان دهنده انرژی‌های سه گانه هستند و سایر پارامترهای آن قبلًا تعریف شده‌اند. با حل دستگاه فوق ضخامت استخوان بصورت ذیل بدست می‌آید.

$$t_b = \frac{\begin{vmatrix} \mu_{ls1} & -\ln(I_1/I_{01}) & \mu_{lf1} \\ \mu_{ls2} & -\ln(I_2/I_{02}) & \mu_{lf2} \\ \mu_{ls3} & -\ln(I_3/I_{03}) & \mu_{lf3} \end{vmatrix}}{\begin{vmatrix} \mu_{ls1} & \mu_{lb1} & \mu_{lf1} \\ \mu_{ls2} & \mu_{lb2} & \mu_{lf2} \\ \mu_{ls3} & \mu_{lb3} & \mu_{lf3} \end{vmatrix}} \quad (6)$$

## ۲-۱- شبیه سازی

شبیه سازی مونت کارلو یک روش آماری برای حل مسایل بر پایه اعداد تصادفی و احتمال آماری می‌باشد. این نوع شبیه سازی یکی از مهمترین ابزارها برای مطالعه و بررسی انتقال ذرات و برهمکنشهای آنها با مواد و همچنین حفاظت در برابر تابش و دزسنجی می‌باشد. کد MCNP یک کد چند منظوره مونت کارلو است که می‌توان آن را برای بررسی مسائل ترانسپورت ذراتی همانند نوترون، فوتون و الکترون به کار برد. کاربردهای خاص آن شامل حفاظت در برابر تابش و دوزیمتری، حفاظت سازی در برابر تابش، رادیوگرافی، فیزیک پیشکی، بحرانی شدن هسته‌ای، طراحی و تحلیل آشکار ساز، طراحی هدف برای شتاب دهنده، طراحی راکتور شکافت می‌باشد. از امکانات این کد می‌توان به انرژی پیوسته، هندسه تعمیم یافته و مستقل از زمان بودن آن اشاره کرد. انرژی نوترونها در محدوده ۱۰ تا ۲۰ کیلوالکترون ولت و انرژی فوتونها و الکترونها در محدوده ۱ کیلوالکترون ولت تا ۱۰۰۰ مگا الکترون ولت قابل شبیه سازی و ارزیابی می‌باشد [۳]. این کد از یک هندسه سه بعدی دلخواه که مواد تشکیل دهنده آن در سلولهایی محصور به سطوح درجه یک و درجه دو قرار گرفته اند استفاده می‌کند. فایل ورودی توسط کاربر ایجاد می‌شود و در نهایت توسط MCNP خوانده می‌شود؛ این فایل

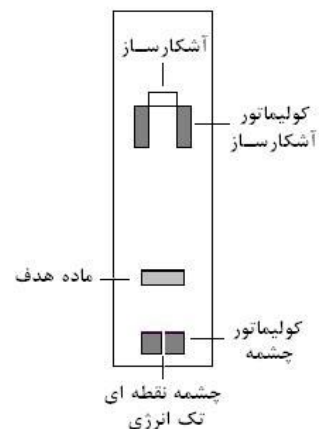
فوتون های تک انرژی در انرژی مورد نظر ( $44, 59/5$  و  $100$  کیلوالکترون ولت) از آنها، تعداد فوتون های رسیده شده به آشکارساز را در خروجی برنامه دریافت میکنیم. این ارقام باستی از رابطه نمایی  $I = I_0 \exp(-\mu t)$  پیروی کنند که در آن  $I$  تعداد فوتون های رسیده شده به آشکارساز می باشد و  $t$  ضخامت ماده مورد نظر است. با برازش منحنی نمایی از این ارقام، مقدار  $\mu$  بدست می آید. در مقایسه مقادیر  $\mu$  استخراج شده از آن منحنی ها، با مقادیر واقعی استخراج شده از مرجع [۵] ملاحظه می شود که خطای بین مقادیر واقعی و مقادیر شبیه سازی شده بین  $1/0.47$  تا  $1/0.40$  در نوسان است. بدینسان از صحیح بودن شبیه سازی و نتایج آن مطمئن می شویم. اکنون که ضرایب تضعیف مواد مورد استفاده در شبیه سازی را بدست آورده ایم به شبیه سازی روش های جذب فوتونی می پردازیم.

### ۳-۲- روش جذب دوفوتونی و اثر چربی

برای شبیه سازی این روش از یک چشم می کننده شامل مخلوط  $15^3\text{Gd}$  و  $59/5$  کیلوالکترون ولت) و  $25^4\text{Am}$  (کیلوالکترون ولت) استفاده می کنیم و فراوانی تمامی انرژیها به نسبت یکسان در نظر گرفته شده است. اساساً در این روش به دو انرژی فوتون احتیاج داریم اما در این شبیه سازی ما از سه انرژی استفاده می کنیم که بتوانیم یک مقایسه بین نتایج حاصل از انتخاب دو انرژی دلخواه انجام دهیم و به نوعی انرژی های بهینه برای این روش را بدست آوریم.

در این شبیه سازی ناحیه استخوان رادیوس که غالباً در اندازه گیری چگالی استخوان مورد آزمایش قرار می گیرد را در نظر می گیریم. این ناحیه دارای مدل استاندارد شکل (۲) می باشد. ضخامت معادل مواد معدنی و بافت نرم به ترتیب  $0/055$  و  $6$  سانتیمتر است که به طور مساوی به بافت نرم خالص و بافت چربی اختصاص یافته است یعنی نسبت ضخامتی آنها  $50:50$  است. [۲] برای پی بردن به تأثیر توزیع ناهمگون چربی با

ز آنجا که قصد داریم به شبیه سازی روش جذب دو فوتونی و سه فوتونی پردازیم و از انرژی های  $44, 59/5$  و  $100$  کیلوالکترون ولت که متناظر با انرژی های گسیل شده از  $15^3\text{Gd}$  (۴۴ و  $100$  کیلوالکترون ولت) و  $25^4\text{Am}$  (۵۹/۵ کیلوالکترون ولت) است استفاده می کنیم؛ و بافت هایی که از آن پرتو گذر می کند عبارتند از بافت نرم خالص، بافت چربی، مخلوط بافت نرم - چربی و مواد معدنی استخوان، لذا باستی مقادیر  $\mu$  را برای این مواد و در انرژی های ذکر شده بدست آوریم. برای بدست آوردن این مقادیر از مدل شکل (۱) استفاده می کنیم. کولیماتور سربی جلوی چشم می کننده به منظور ایجاد یک پرتو باریک از فوتون های تک انرژی قرار گرفته است و کولیماتور سربی آشکارساز به منظور حذف فوتون های پراکنده قرار گرفته است. ضخامت ماده هدف که در هر نوبت شبیه سازی یکی از مواد نام برده شده می باشد، از  $1$  میلیمتر تا  $10$  میلیمتر تغییر می کند. ترکیب عناصر تشکیل دهنده بافت نرم خالص، بافت چربی، مخلوط بافت نرم - چربی و مواد معدنی استخوان که در این شبیه سازی بکار برده شده اند از مرجع [۴] استخراج شده اند.



شکل ۱- هندسه مربوط به بدست آوردن ضرایب تضعیف

در شبیه سازی تعداد ده ضخامت مختلف از  $0/1$  تا  $1$  سانتی متر از ماده مورد نظر را قرار می دهیم و با عبور دادن

## ۵- بررسی الگوی هندسی خوردگی‌ها

بیماران مبتلا به استئوپروز بطور متوسط سالیانه ۳٪ از مواد معدنی استخوان خود را از دست می‌دهند؛ این امر با ایجاد و بزرگتر شدن حفره‌هایی در استخوان رخ می‌دهد؛ یعنی حجمی از مواد معدنی استخوان از بین می‌رود و بجای آن مواد میان بافتی می‌نشیند. به مرور زمان از آنجا که استئوپروز در مراحل اولیه عوارض ظاهری ندارد ممکن است بیمار بدون اینکه خود متوجه باشد بالغ بر ۵۰ تا ۷۰ درصد از مواد معدنی استخوان خود را از دست بدهد [۶].

برای بررسی اثر الگوی هندسی و شکل خوردگی‌ها بر نتایج بدست آمده از روش‌های فوق این‌گونه عمل می‌کنیم. دو نوع الگوی شش وجهی و استوانه‌ای را برای خوردگی‌ها در نظر می‌گیریم بطوری که میزان حجم خوردگی‌ها در این دو حالت برایر با هم باشند و تفاوت آنها فقط در شکل خوردگی‌ها باشد (شکل ۳). در ابتدا حفره‌هایی در ابعاد استاندارد برای شخص سالم در نظر می‌گیریم و پس از آن با بزرگتر کردن ابعاد این حفره‌ها به گونه‌ای که میزان خوردگی‌ها تا ۶۰٪ برسد، به بررسی صحت و دقیقت روش‌های جذب دوفوتونی می‌پردازیم و تاثیر نوع شکل خوردگی‌ها بر نتایج را بررسی می‌کنیم.

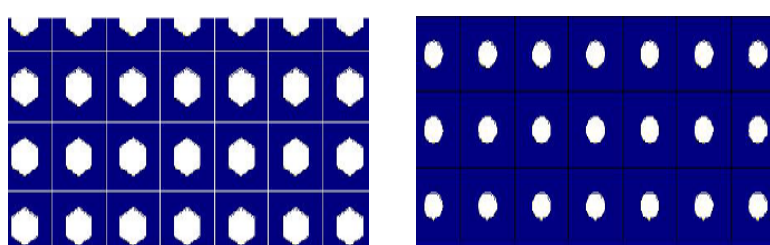
ثابت نگاه داشتن ضخامت کل بافت نرم با تغییر سهم چربی در آن از ۱۰٪ تا ۹۰٪ به انجام شبیه سازی می‌پردازیم. نتایج حاصل از آن در شکل (۴) دیده می‌شود.



شکل ۲- مدل استخوان رادیوس

## ۴- راههای جبران اثر چربی

از آنجا که قصد داریم ضخامت مواد معدنی استخوان را با استفاده از روش جذب سه‌فوتونی بدست آوریم؛ با ثابت نگاه داشتن ضخامت بافت نرم، ضخامت معادل مواد معدنی استخوان را از ۴/۰ تا ۷/۰ سانتیمتر - که متناظر با اعداد ۱/۲۲۲ و ۲/۱۵۶ گرم بر سانتیمتر مربع می‌باشند - تغییر می‌دهیم. برای تبدیل ضخامت فیزیکی به ضخامت جرمی، آنها را در چگالی مواد معدنی استخوان نرمال (۳/۰۸ گرم بر سانتیمتر مربع) ضرب کرده ایم. از هندسه شکل (۱) برای انجام شبیه سازی بهره می‌گیریم. نتایج مربوط به آن در شکل (۵) نشان داده شده‌اند.



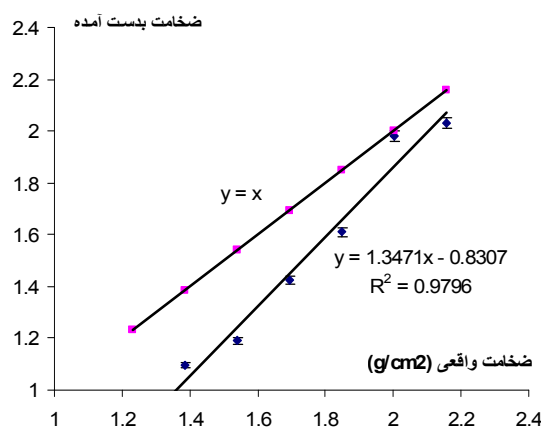
شکل ۳- الگوی خوردگی با سطح مقاطع استوانه‌ای و شش وجهی

آمده‌اند. با توجه به اعداد بدست آمده در می‌باییم که در بهترین حالت (خط ۲) دارای ۴٪ خطای متوسط می‌باشیم که اگر میانگین گیری نکنیم بیشینه دارای ۷/۶۹٪ خطای هستیم؛ از

## ۳- نتایج

خطوط ۱، ۲ و ۳ در شکل (۴) به ترتیب با انتخاب انرژی‌های ۴۴-۱۰۰، ۵۹/۵-۱۰۰ و ۵۹/۵ کیلو الکترون ولت بدست

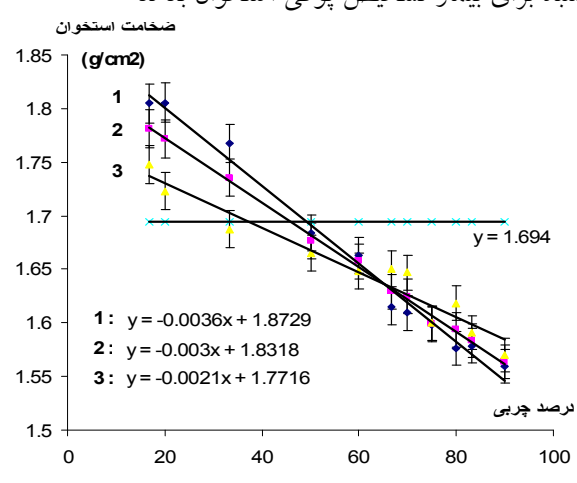
اند. دیده می شود که استفاده از روش سه مولفه ای خطأ در صحت اندازه گیری را به میزان ۰٪ کاهش داده است در حالی که روش سه مؤلفه ای خطای بیشتری را به همراه دارد. این امر ما را بر آن داشت که کارایی روش سه مؤلفه ای را در مواجهه با ترکیب طبیعی بافت نرم بررسی کنیم.



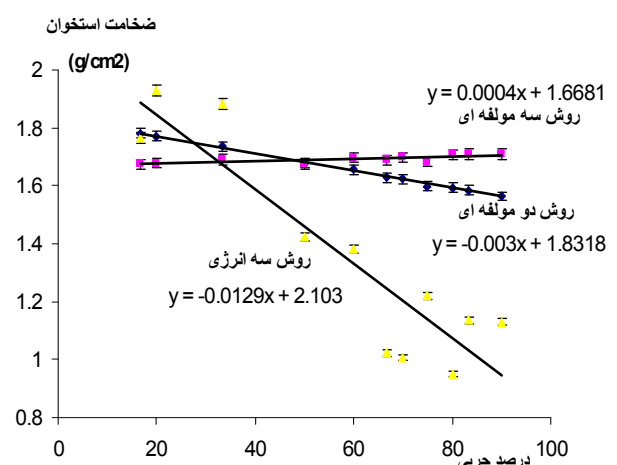
شکل ۶- بررسی ضخامت استخوان به روشن جذب سه فوتونی

در شکل (۶) دیده می شود که روش جذب سه فوتونی حتی در شرایط طبیعی نمی تواند از صحت خوبی برخوردار باشد. چراکه دترمینان ضرایب تضعیف آن بقدرتی کوچک است که نشان دهنده نوعی وابستگی خطی بین این ضرایب می باشد. با بررسی شکل های (۷) و (۸) در می یابیم که با استفاده از هندسه پرتو باریک و یک بار عبور پرتو از بدن بطور متوسط دارای ۱۲٪ خطای در محاسبات هستیم ضمن اینکه الگوی خوردگی ها نیز سبب ایجاد اختلاف بین دو منحنی شکل (۷) شده است. با یک بار دیگر عبور دادن باریکه پرتو از بدن و در موقعیتی دیگر به نتایج دیگری می رسمیم که میانگین آنها با نتایج قبلی در شکل (۸) نشان داده شده است که دارای ۷٪ خطای متوسط می باشند. چنانچه چند بار اندازه گیری صورت گیرد خطای کاهش می یابد و وابستگی به شکل خوردگی ها کاهش می یابد.

آنجا که نرخ کاهش سالیانه مواد معدنی استخوان در بیماران مبتلا به استئوپروز سالیانه ۲٪ است، این مقدار خطأ در صحت اندازه گیری نمی تواند تغییرات سالیانه بیمار را نشان دهد. همانگونه که دیده می شود با افزایش ضخامت بافت چربی که در بیمارهای فربه دیده می شود، نتایج بدست آمده دارای مقدار کمتر از مقدار واقعی می باشند و ممکن است پزشک به اشتباہ برای بیمار تشخیص پوکی استخوان بدهد



شکل ۴- تاثیر ترکیب نامهugen چربی



شکل ۵- مقایسه سه روش: DPA سه مؤلفه ای و سه انرژی برای جبران اثر چربی از روش های سه مؤلفه ای و سه انرژی استفاده می کنیم که نتایج آنها در شکل (۵) نشان داده شده

دیگر از ضرایب تضعیفی استفاده می‌شود که اثر چربی در آنها لحاظ شده است.

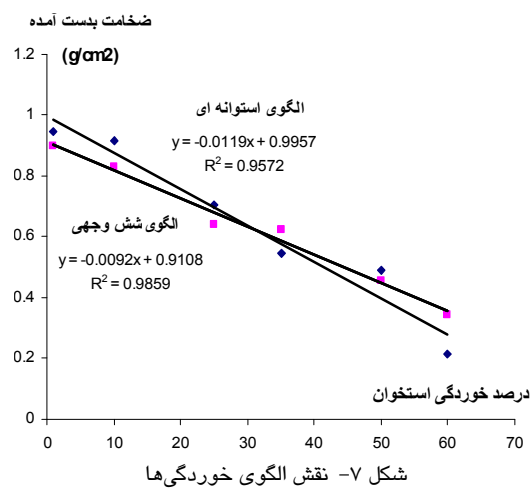
همچنین با انجام شبیه سازی نشان داده شد که نمی‌توان با استفاده از روش مبتنی بر فوتون‌های با سه انرژی و حل دستگاه معادلات مربوط به عبور آنها از بدن، به اندازه گیری چگالی استخوان پرداخت چرا که اندازه دترمینان ضرایب بقدرتی کوچک است که به شدت سبب تکثیر خطا می‌شود و همچنین این مقدار اندک به نوعی بیانگر وجود یک وابستگی خطی بین این ضرایب تضعیف می‌باشد.

یکی از برتری‌های روش سه مؤلفه‌ای این است که بدون تابش زیاد به بیمار، خطاهای ناشی از چربی از میان می‌رود. از ایرادهای روش سه مؤلفه‌ای این است که این روش نیاز به یک دستگاه اندازه گیری مسیر پرتو دارد و این امر منجر به افزایش قیمت دستگاه و افزایش زمان انجام آزمایش می‌شود به سبب اینکه در کنار زمان لازم در روش مرسوم باید یک اندازه گیری بر روی مسیر پرتو صورت گیرد.

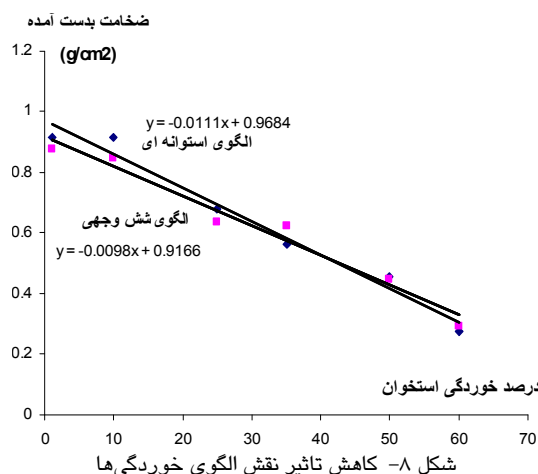
در بیماران فربه در مواردی که مقدار مواد معدنی استخوان شخص بیمار با مقدار آن در فرد سالم در همان سن مقایسه می‌گردد تا به ابتلا به پوکی استخوان تشخیص داده شود، به سبب نیاز به صحّت بالای اندازه گیری، می‌توان از روش سه مؤلفه‌ای استفاده کرد. همچنین هنگام درمان افراد چاق که اندازه گیری‌های مقدار مواد معدنی استخوان در زمان‌هایی با تغییر زیاد چربی صورت می‌گیرد، به سبب درنظر گرفته شدن اثر چربی در مدل سه مؤلفه‌ای، می‌توان از این روش استفاده کرد.

## ۵- تشکر و قدردانی

کار حاضر با پشتیبانی بخش پژوهشی دانشگاه شهید بهشتی و گروه پرتوپردازی این دانشگاه انجام شده است.



شکل ۷- نقش الگوی خوردگی‌ها



شکل ۸- کاهش تاثیر نقش الگوی خوردگی‌ها

## ۴- بحث و نتیجه گیری

با توجه به نتایج شبیه سازی مشخص شد که مدل تعیین یافته جذب دو فوتونی، اندازه صحیح‌تری از مقدار مواد معدنی استخوان نسبت به روش معمولی دو مؤلفه‌ای به ما می‌دهند. علت بهبود صحّت اندازه گیری این است که به جای اینکه از یک مؤلفه مربوط به ترکیب متوسط بافت نرم خالص و بافت چربی استفاده شود، در روش سه مؤلفه‌ای اثر بافت نرم خالص و چربی به طور جداگانه لحاظ می‌شوند و در روش

منابع

1. Webber CE. Photon Absorptiometry, bone densitometry and the challenge of osteoporosis. *Phys Med Biol* 2006; 51:169-185.
2. Michael C J, Henderson C J. Monte Carlo modeling of an extended DXA technique. *Phys Med Biol* 1998; 43:2583-2596.
3. Briesmeister J F (Ed.). MCNP<sup>TM</sup> – A General Monte Carlo N-Particle Code, Version 4C, Los Alamos National Laboratory, Los Alamos, New Mexico; 2000.
4. Snyder WS, Cook MJ, Nasset ES, Karhausen LR, Parry Howells G, Tipton IH. Report of the task group on reference man. Published for ICRP Pergamon Press; 1975.
5. Berger MJ, Hubbell JH, Seltzer SM. XCOM: Photon Cross Sections Database, NIST Standard Reference Database 8 (XGAM); 1998.
6. Genant HK. Methods of bone densitometry in current research in osteoporosis and bone mineral measurement, Proc. 2<sup>nd</sup> Bath Conf. on Osteoporosis and bone mineral measurement. London, British Institute of Radiology; 1990.